

دگرگونی تدفینی سبز ائوسن در منطقه شمال تفرش

فرامرز طوطی^{*}، رضوانه جمالی آشتیانی، جمشید حسن زاده

دانشکده زمین‌شناسی، پردیس علوم، دانشگاه تهران، تهران، ایران

^{*} مسئول مکاتبات-آدرس الکترونیکی: Tutti@khayam.ut.ac.ir

(دریافت: ۸۷/۶/۷؛ پذیرش: ۸۷/۸/۱۴)

چکیده

توفهای سبز کرج (ائوسن) در منطقه شمال تفرش شامل توالی ضخیمی از لیتیک توف، کریستال توف و ویتریک توف می‌باشند. مطالعات میکروسکوپی و آنالیزهای میکروپرور (EMPA)، پراش پرتو ایکس (XRD) و میکروسکوپ الکترونی روبشی (SEM) نشان می‌دهند که مهمترین کانی‌های ثانوی تشکیل شده در این توف‌ها شامل سریسیت، کلریت، آلبیت، آنالسیم، اپیدوت، پرهنیت و پومپلیت می‌باشند. با توجه به بررسی‌های کانی‌شناسی در مطالعه حاضر، بنظر می‌رسد توف‌های منطقه شمال تفرش عموماً در بخش‌های قاعده‌ای دچار دگرگونی تدفینی شده‌اند. دگرگونی تدفینی در توف‌ها با پدیده دیازنز آغاز گردیده و در نهایت به مجموعه کانی‌های مرتبط با دگرگونی درجه پایین و بطور مشخص به رخساره زئولیت (آنالسیم) و پرهنیت-پومپلیت ختم شده است.

واژه‌های کلیدی: توف سبز ائوسن، دگرگونی تدفینی، رخساره زئولیت، رخساره پرهنیت-پومپلیت، تفرش

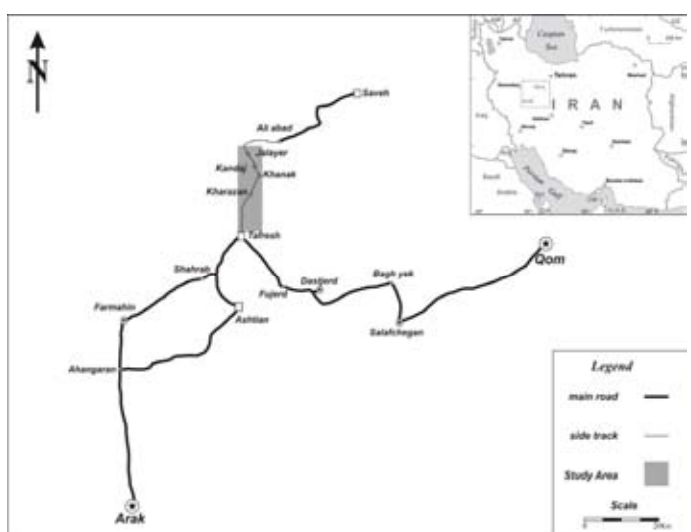
درباره دگرگونی تدفینی و دیازنز بر روی سنگ‌های مزبور انجام شده است. گیفکینز و همکاران (Gifkins *et al.* 2005) توالی‌های آتشفشنای فلزیک را در طی تدفین به چهار زون تقسیم نموده اند که شامل رخساره زئولیت، پرهنیت+پومپلیت، پومپلیت+اکتی نولیت، لاوسونیت+آلبیت+کلریت، شیست آبی و شیست سبز می‌باشند. پاتل و همکاران (Patel *et al.* 2002) دگرگونی در متاپلیت‌ها، متاپلیت‌ها و متاتوفهای را که در ارتباط با فروزانش دگرگون شده اند را بررسی کرده و دگرگونی درجه پایین توف‌ها در رخساره پرهنیت-پومپلیت را تحت عنوان دگرگونی تدفینی معرفی نموده‌اند. درجه پایین توفهای در منطقه عنوان دگرگونی تدفینی معرفی نموده‌اند. درجه پایین توفهای در منطقه در رخساره پرهنیت-پومپلیت اشاره می‌کنند همچنین وینتر (Winter 2001) با استفاده از مطالعات خود نشان داد که بدليل اختلافات ترکیبی و فیزیکی، زون‌های دگرگونی تدفینی از ناحیه‌ای به ناحیه دیگر متفاوتند و بر اساس بافت و یا کانی‌های موجود Iwao & Hushmand- تقسیم بندی می‌شوند. ایوانو و هوشمندزاده (Zadeh, 1971) نیز مطالعات مشابهی بر روی سنگ‌های آتشفشنای و آذرآواری سازند کرج در رشته کوههای البرز در منطقه شمال تهران داشته‌اند. بر طبق مطالعات پتروگرافی صورت گرفته توسط مولفین مزبور، سنگ‌های آتشفشنای و آذرآواری این منطقه تحت تأثیر دگرگونی تدفینی قرار گرفته‌اند و علی‌رغم عدم مشاهده پومپلیت، دگرگونی مزبور به رخساره زئولیت و پرهنیت-پومپلیت نسبت داده شده است. کومبز و همکاران (Coombs *et al.*, 1959) نیز مطالعات خود را در

مقدمه نهشته‌های آذرآواری و سنگ‌های آتشفشنای در منطقه مورد مطالعه در حوالی شهرستان تفرش از توابع استان مرکزی در ۲۲۱ کیلومتری جنوب غربی تهران در باخته ایران مرکزی، بین زونهای سنندج- سیرجان و البرز و در محدوده‌ای با مختصات جغرافیایی "۱۴/۰۱° ۵۰' ۴۰/۳۳° ۳۴' ۴۳' ۱۴/۰۰ طول شرقی و ۴۲/۱۱° ۳۴' ۵۰' ۴۰/۳۳° ۳۴' ۴۳' ۱۴/۰۰ عرض شمالی واقع شده است و قسمتی از برگه‌های ۱:۲۵۰۰۰۰ می‌توان به منطقه دسترسی پیدا کرد (شکل ۱).

از آخرین مطالعات انجام شده در این محدوده می‌توان به بررسی زمین‌شناسی و تهیه نقشه ۱:۱۰۰۰۰۰ تفرش توسط جواد حاجیان (۱۹۷۰) و زمین‌شناسی و پترولوزی سنگ‌های آذرین ترشیری در منطقه تفرش توسط بهروز امینی (۱۳۷۷) اشاره کرد. همچنین در منطقه گسترده چهارگوش قم که تفرش بخشی از آن است، اطلاعات ارزشمندی پیرامون مسائل زمین‌شناسی ساختمانی، ژئوشیمیایی، سنگ‌شناسی، ولکانولوزی، دینامیسم فوران و همچنین پلوتونیسم ترشیری فراهم شده است (اماگی، ۱۳۷۰، سجودی ۱۳۷۲ قلمکاش ۱۳۷۴، شاهرخ ۱۳۷۵). با این وجود مطالعات کمی بر روی توفهای سبز ائوسن، پتروگرافی، آتراسیون و دگرگونی آنها صورت گرفته است، در حالی که در مناطق مختلف دنیا مطالعات گسترده‌ای از جمله

منطقه تفرش با توجه به تقسیم بندی ساختاری ایران در زون ولکانیکی- رسوبی- پلوتونیکی ارومیه- دختر واقع شده است. ولکانوکلاستیک ائوسن در ایران مرکزی همراه با تبخیری و با ضخامتی در حدود ۲۰۰۰ متر می‌باشد (Jackson *et al.*, 1990). این توالی شباهت فراوانی با سری سبز نیمه ولکانیک ائوسن در کوههای البرز (سازند کرج) دارد و به طور عمده شامل توفهای ریزدانه، سبز خاکستری تا زرد، شیل های توفی و به میزان کمتر جریان های ولکانیکی و آگلومرا می‌باشد. نگاهی به نقشه زمین شناسی منطقه با مقیاس ۱:۱۰۰۰۰۰ نشان می‌دهد که منطقه تفرش از دو واحد اصلی سنگ‌های آتشفسانی و آذرآواری ائوسن و توده نفوذی تشکیل شده است (شکل ۲). توفهای سبز ائوسن در منطقه تفرش دارای ضخامتی بیش از ۳۰۰۰ متر هستند.

به دنبال فاز فشارشی کرتاسه پایانی، فاز کششی مهمی در بسیاری از قسمت‌های ایران حکم‌فرما شد و نتیجه آن ولکانیسم شدید ائوسن بود که وجود لایه هایی از توفهای نومولیت دار مovid سن ائوسن برای آنهاست. ولکانیسم در این منطقه بیشتر انفجاری بوده و واحد های پاپروکلاستیک ضخیمی شامل ایگنیمبریت، لیتیک توف، کریستال توف و توف شیشه‌ای را در منطقه بوجود آورده است. همچنین این مجموعه توسط دایک‌هایی با ترکیب حدواتسط قطع شده اند. تکتونیک منطقه شامل چین‌ها و گسل‌هایی است که بر مجموعه‌های تشکیل دهنده منطقه تأثیر گذاشته‌اند. روند عمومی ساختمان‌های زمین‌شناسی این منطقه تاقدیس اصلی تفرش با روند شمال غربی- جنوب شرقی است. یکی از مهمترین ساختارهای که ولکانیک های ائوسن بر روی یال این تاقدیس واقع شده اند. شیل های سازند شمشک قاعده این کمان مagmaی را تشکیل می‌دهند که

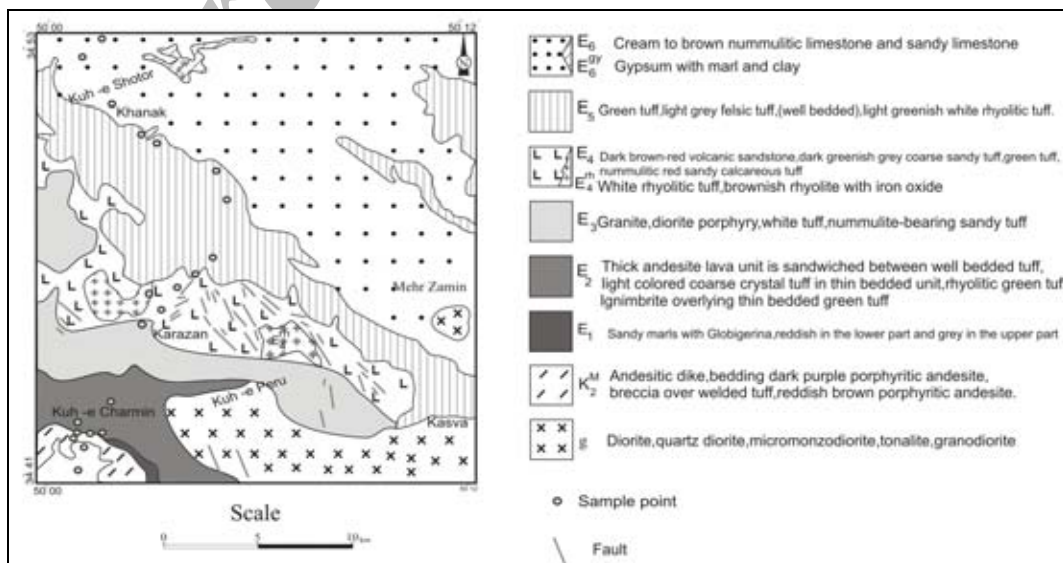


شکل ۱: نقشه راههای دسترسی به منطقه تفرش.

نیوزلند بر روی توفها و گری وک‌ها متتمرکز کرده و به بررسی رخساره دگرگونی در آنها پرداخته اند، در مطالعات بعدی صورت گرفته بل و کومیز (Boles & Coombs 1972) نشان دادند که دگرگونی در توف‌ها همراه با تغییرات اساسی در ترکیب کل سنگ در نتیجه چرخش سیالات می‌باشد.

ر مطالعه حاضر، خصوصیات سنگ شناسی و پتروگرافی و ترکیب شیمیایی کانی‌های موجود در توفهای سبز ائوسن به دقت مورد بررسی قرار گرفته و با استفاده از مطالعات صحرایی و میکروسکوپی و داده‌های حاصل از آنالیزهای پراش پرتو ایکس (XRD)، مطالعات میکروسکوپ الکترونی روبشی (SEM) و آنالیز شیمی نقطه‌ای (EMPA) عناصر تشکیل دهنده کانی‌های موجود در این توف‌ها به وجود پدیده دگرگونی در این توف‌ها پرداخته شده است.

زمین‌شناسی منطقه:



شکل ۲- بخشی از نقشه ۱:۱۰۰۰۰۰ تفرش (اقتباس از حاجیان، ۱۹۷۰)

مطالعات میکروسکوپ الکترونی روبشی (SEM): سطوح تازه شکسته ۵ نمونه به منظور مشاهده شکل بلوری و ساختمان (مورفولوژی) کانی‌های تشکیل دهنده آن در ابعاد ۵۰ نانومتر پوشش طلا داده شد و با میکروسکوپ روبشی Vega مدل VG2080573IR که در مرکز متالوژی رازی مورد مطالعه قرار گرفت و آنالیز عناصر اصلی آنها نیز بررسی شد.

سنگ شناسی و کانی‌شناسی:

یکی از کامل ترین سکانس‌های آتشفسانی کمربند ارومیه- دختر با ضخامت قابل توجه (حدود ۳۰۰۰ متر) در ناحیه شمال تفرش وجود دارد. لیتوژوئی اصلی منطقه شمال تفرش شامل گدازه‌های آتشفسانی، پایروکلاستیک‌ها و سازنده‌های رسوبی می‌باشد. سنگ‌های پایروکلاستیک که گستره وسیعی از سنگ‌های منطقه را تشکیل می‌دهند، از نظر چینه شناسی متعلق به سازند کرج می‌باشند. توده‌های نفوذی نیمه عمیق با ترکیب حدواتسط واحد های فوق را قطع کرده و سنی جوانتر از اؤسن را نشان می‌دهند. تجمع این توده‌های نفوذی نیمه عمیق در قسمت‌های مرکزی سکانس آذرین منطقه بیشتر است. این توف‌ها در اکثر موارد دارای لایه‌بندی ظریف همراه با پیچ خورده‌گی می‌باشند که نشان دهنده وجود جریان‌های آشفته در محل است، همچنین آنها به شدت و به صورت فراگیر در سکانس مورد مطالعه (شکل ۴) دچار فرایند آلتراسیون گردیده اند. در این مبحث عمدتاً به بررسی سنگ شناسی و کانی‌شناسی در قاعده این توف‌ها پرداخته می‌شود.

مطالعات صحرایی و میکروسکوپی نشان می‌دهد که توف‌های واقع در این سکانس از نظر سنگ شناسی عمدتاً داسیتی و ریوداسیتی بوده و شامل لیتیک توف، کریستال توف و توف شیشه‌ای می‌باشند. لیتیک توف‌ها بیشتر در قسمت‌های انتهایی سکانس مورد نظر یافت شده اند. بافت غالب توف‌ها میکرولیتیک پورفیری و گاهی کریپتوکریستالین است. به طور کلی قطعات بلورین شکل‌دار و نیمه شکل‌دار بوده و مقدار شکستگی و اندازه آنها متفاوت است و جورشدنگی ضعیف تا متوسط دارند. در رخساره‌های پایروکلاستیک قطعات بلورین شکسته و زاویه دار معمول تر از بلورهای خود شکل هستند (شکل ۵-الف). جنس لیتیک‌ها متنوع است و اغلب دارای بافت میکرولیتیک پورفیری و در بعضی از نمونه‌ها دلربیتی می‌باشند. ماتریکس آنها در بسیاری موارد شیشه‌ای بوده و تعدادی از این توف‌ها دارای کمتر از ۵ درصد پومیس می‌باشند. پومیس از شیشه آتشفسانی حفره دار تشکیل شده است که از تشکیل دهنده‌های بعدی پایروکلاستیک‌ها محسوب در توف‌های قاعده ای سکانس مورد نظر (بعنوان مثال در توف‌های شماره ۴، ۳-۴، ۶-۲ و ۱۳) کانی‌های پلاژیوکلاز، فلدسپار قلیایی و بمقدار کمتر کوارتز، درشت بلورهای تشکیل دهنده آنها می‌باشند. بلورهای

نهشته‌های اؤسن با ناهمسازی بر روی آنها نشسته‌اند. بیشتر رخساره‌های موجود در منطقه عمدتاً به رخساره‌ای گوناگون زمان ترشیزی تعلق دارند. تنوع و تکرار این واحدها از لحاظ جنس و عامل فرسایش سبب ایجاد سطوح توپوگرافی متنوعی شده است که آنها را می‌توانیم به سه گروه عمدۀ تقسیم کنیم: الف) مناطق پست و کم ارتفاع: که قسمت‌های جنوبی محدوده مورد مطالعه را تشکیل می‌دهند و شامل رسوبات کواترنری می‌باشند. ب) مناطق نیمه مرتفع: شامل سنگ‌های توده نفوذی منطقه می‌باشند. ج) مناطق مرتفع: شامل واحد‌های گدازه‌ای و آذر آواری سازند کرج است (شکل ۳) که در منطقه مورد مطالعه رخمنون دارند و دارای مورفولوژی خشن و ارتفاعات می‌باشند.



شکل ۳- توف سبز اؤسن در منطقه شمال تفرش

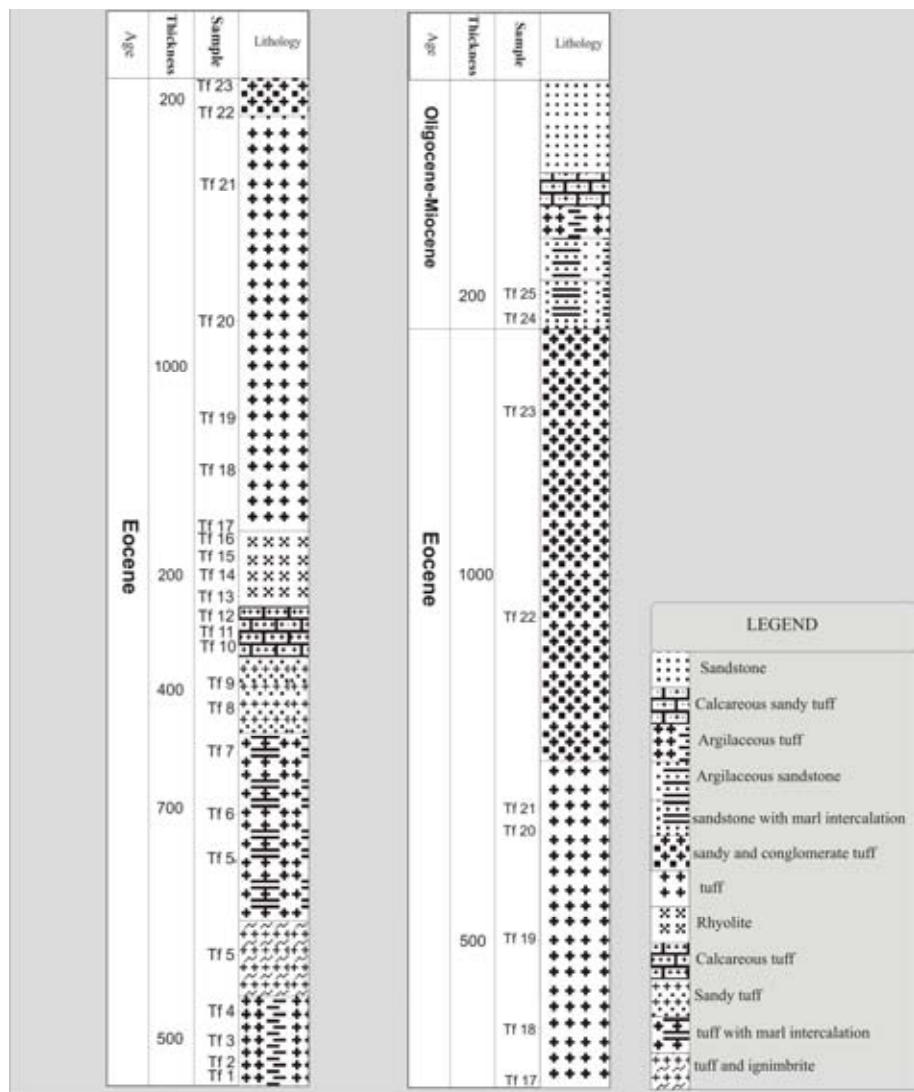
روشهای مطالعاتی:

در بررسی‌های دقیق صحرایی حدود ۱۰۰ نمونه از مجموع سنگ‌های آتش‌فشاری (گدازه و آذر آواری) برداشت گردید و ۸۰ مقطع نازک تهیه شد. از آنجایی که این توف‌ها در منطقه دارای ضخامت قابل توجهی هستند، آلتراسیون‌های موجود در آنها مورد بررسی قرار گرفته است.

آنالیز شیمی نقطه‌ای (EMPA): ۵ مقطع نازک صیقلی از توف‌های سبز اؤسن در دپارتمان علوم زمین دانشگاه اپسالا (سوئد)، بوسیله دستگاه الکترون مکروپرور مدل Cameca SX50 مورد آنالیز شیمی نقطه‌ای قرار گرفت.

مطالعات پراش پرتوی ایکس (XRD): بر روی نمونه‌های پودر شده بوسیله طیف سنج XRD مدل XD-SA Shimadzu و چشمۀ cuk با طول موج ۱/۰۵۰۵۸ آنگستروم بین زوایای ۴ تا ۶۴ درجه با سرعت ۱ درجه بر دقیقه، در دانشکده زمین شناسی دانشگاه تهران آنالیز به عمل آمد سپس داده‌های پراش پرتو ایکس توسط نرم افزار PowderX و Diffracat مورد آنالیز قرار گرفت. طیف‌های بدست آمده با الگوهای استاندارد هر کانی مقایسه و شناسائی شدند.

پلاژیوکلاز نیمه شکل دار تا شکل دار در اندازه کوچک تا بزرگ و اغلب از زوینیگ کامل و ناقص در این کانی مشاهده می شود. گاهی درشت نوع آندزین و لا برادریت می باشند. بافت های مختلفی از جمله نوسانی، بلورهای پلاژیوکلاز دارای ادخال های کانی کدر هستند که

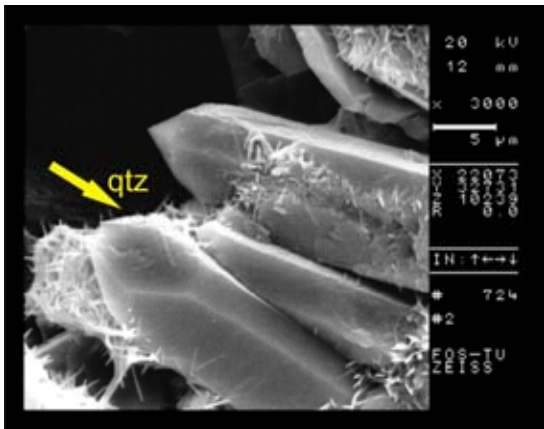


شکل ۴- نیمرخ های منطقه تفرش (اقتباس از حاجیان ۱۹۷۰).

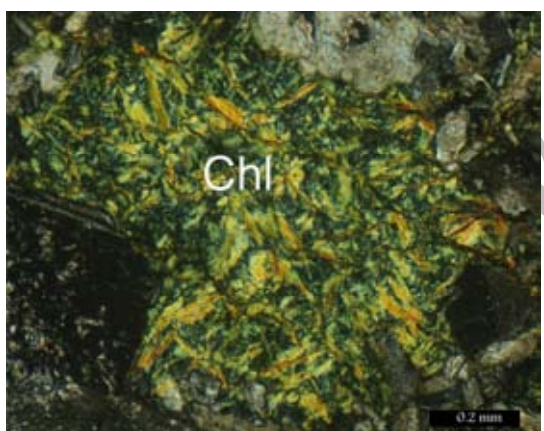


شکل ۵- لیتیک توف موجود در منطقه شمال تفرش (الف) و پومیس می شود (شکل ۵-۵). اغلب شارد های شیشه ای با دیواره حفره ای، حباب های شکسته شده یا دیواره حفرات پومیس می باشند. این شارد ها بیشتر در نمونه های موجود در قاعده سکانس دیده شده اند. (Pumice) مشاهده شده در یک نمونه توف (ب).

رنگ تا پررنگ و نیز سبز متمایل به قهوه ای محصول تبدیل شدگی کانی‌های موجود در سنگ می‌باشد و در قالب سایر کانی‌ها، در زمینه سنگ و نیز در حفرات و فضاهای خالی سنگ و اغلب همراه با کلسیت و گاهی با اپیدوت دیده می‌شود (شکل ۷).



شکل ۶- تصاویر میکروسکوپ الکترونی روبشی (SEM) از کوارتزهای (qtz) موجود در توف سبز ائوسن که دچار انحلال شده و بر روی آنها کانی‌های ثانوی کلسیت و کلریت در حال تشکیل می‌باشند.



شکل ۷- کلریتی که جانشین کانی اولیه شده است.

اشکال و رنگ‌های مختلف کلریت می‌تواند به دلیل گستردگی محلول جامد کلریت و نیز نشان دهنده ژئو مختلط آنها باشد (Klein & Hurlbut, 1999). تصاویر میکروسکوپ الکترونی (SEM) بلورهای ورقه‌ای شکل کلریت را نشان می‌دهد (شکل ۸).

کلسیت: این کانی به طور گسترده در توف‌های سبز ائوسن منطقه تفرش همراه با کانی‌های کلریت، کوارتز، سریسیت دیده می‌شود. کلسیت اغلب نیمه شکل دار تا بی شکل بوده و ابعاد آنها از ۰/۱ تا ۰/۵ میلیمتر متغیر است. در بعضی از نمونه‌ها کلسیت پرکننده رگه‌ها و شکستگی‌های موجود در سنگ و در بسیاری از مواد نیز جانشین کانی‌های تشکیل دهنده سنگ می‌شود (شکل ۹ و ۱۰).

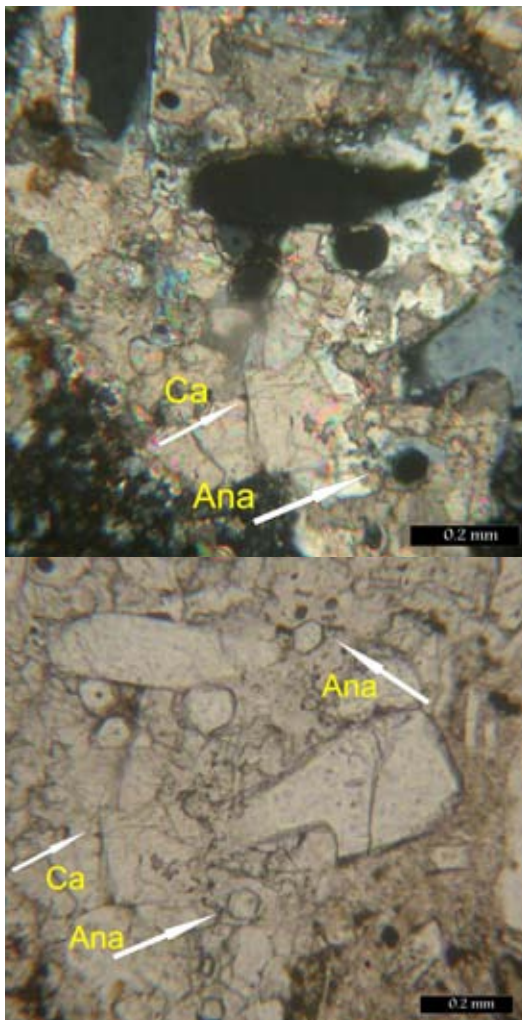
حاکی از تبلور مقدم این کانی‌ها نسبت به پلاژیوکلاز است و یا در هنگام تبلور همزمان نشانگر رشد سریع تر درشت بلور پلاژیوکلاز برگیرنده ادخال‌ها می‌باشد (Shelly 1993). بلورهای فلدسپار قلیابی نیز بعنوان یکی دیگر از کانی‌های تشکیل دهنده این سنگ‌ها می‌باشد. سانیدین به صورت شکل‌دار تا نیمه شکل‌دار با ماکل کارلسbad و شکل نیزه ای قابل مشاهده است. کوارتز در دسته ای از سنگ‌ها بصورت درشت بلور و شکل‌دار تا بی شکل بوده و دارای اشکال خلیجی متنوعی است که احتمالاً بعلت رشد غیر تعادلی و یا تأثیرات اتحالی ناشی از کاهش فشار در حین صعود ماغما بوجود آمده است (Shelly 1993). بلورهای آپاتیت با بر جستگی واضح در زمینه سنگ و نیز به صورت ادخال در کانی‌ها از جمله فلدسپارها دیده می‌شوند. کانی پیروکسن نیز یکی از کانی‌های باقی مانده در این توف‌ها از جمله در نمونه شماره ۶-۲ می‌باشد که در بسیاری از قسمت‌ها کلریتی شده‌اند.

کانی‌های فرعی موجود در این سنگ‌ها شامل اسفن، زیرکن و روتیل می‌باشد، کانی‌های اپاک به دو صورت اولیه و ثانویه در نمونه‌های سنگی یافت می‌شوند. کانی‌های اپاک اولیه به صورت شکل‌دار در متن نمونه‌های سنگ و به صورت انکلوزیون در داخل درشت بلورهای پلاژیوکلاز قرار گرفته‌اند. اپاک بی شکل ثانویه به مقدار زیاد در نمونه‌های مورد مطالعه مشاهده گردید. اکسیدهای آهن نیز به مقدار زیاد در متن سنگ وجود دارد که رنگ قرمز قهوه ای از خود نشان می‌دهند. کلریت، پرهنیت، آلبیت، آنالسیم، اپیدوت، پومپلئیت، کلسیت و سریسیت از مهمترین کانی‌های ثانوی موجود در این توف‌ها هستند که به تفصیل مورد بحث و بررسی قرار خواهند گرفت.

کوارتز: در بسیاری از نمونه‌ها کوارتز‌های میکرو کریستالین با بافت اسفروولیتی از تجدید تبلور متن شیشه‌ای تشکیل شده‌اند. اسفروولیت‌ها از بلورهای کاملاً بهم چسبیده کوارتز تشکیل شده‌اند و حضور آنها نشانگر محدود بودن انتشار در طی تبلور است. این کوارتزهای ثانوی به صورت رگچه‌ای و پرکننده حفرات دیده می‌شوند. این کوارتز‌های ریز دانه اغلب همراه با کلسیت و کلریت می‌باشند (شکل ۶). در نمونه‌های مطالعه شده، تشخیص کوارتزهای اولیه از ثانویه آسان نیست. با وجود این می‌توان آنها را از هم تشخیص داد زیرا کوارتز باقیمانده از ماغما، به صورت اوتکتیک با ماغما متبلور می‌شود. اما کوارتز حاصل از تبلور سیال‌های گرمابی یا نفوذی دارای بافت موزاییکی بوده و با فلدسپات همراه نیست.

کلریت: کلریت در این توف‌ها از مهمترین کانی‌های ثانوی تشکیل شده، می‌باشد. فراوانی این کانی در توف‌های ائوسن قابل مشاهده است و ۵ تا ۲۰ درصد حجم سنگ را تشکیل می‌دهد. این کانی با اشکال اسفروولیتی، شعاعی، بادبزنی و رشتہ‌ای (ورقه‌ای) و چند رنگی سبز کم

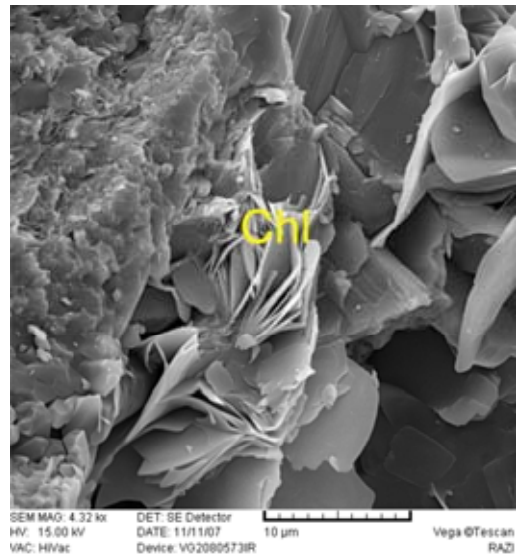
فضاهای خالی و در متن سنگ دیده می شود. این کانی با اشکال تیپیک چند ضلعی قابل مشاهده است(شکل ۱۱).



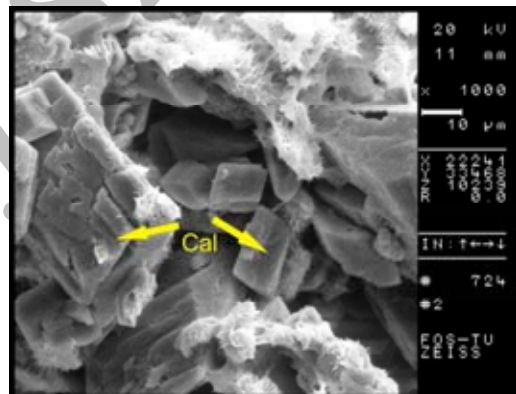
شکل ۱۱: آنالسیم (Ana) تشکیل شده همراه با درشت بلورهای کلسیت (Ca) در نور طبیعی و نور پلاریزه.

پرهنیت: از کانی‌های ثانوی موجود در توفهای آئوسن به صورت توده ای و اشکال بادیزی در فضاهای خالی و نیز بصورت جانشینی بهمراه کلسیت و بمقدار نسبتاً فراوان در ضخامت قابله ملاحظه ای از توفها مشاهده می شوند. این کانی با برجستگی ضعیف قابل تشخیص است (شکل ۱۲).

سریسیت: در بیشتر نمونه های مورد مطالعه فلدسپار به سریسیت تبدیل شده است. روند این تغییرات را می توان در تعداد زیادی از مقاطع نازک گرفته شده از نمونه ها مشاهده نمود. شدت تبدیل فلدسپار به سریسیت متفاوت است. در بعضی از نمونه ها فقط شبیه از حاشیه کانی فلدسپار باقی مانده است و در برخی نمونه ها نیز سریسیت به صورت پراکنده همراه با کوارتز در سنگ مشاهده می شود.



شکل ۸: تصویر میکروسکوپ الکترونی از بلورهای ورقه ای شکل کلریت (Chl) و انحلال شیشه و تشکیل کانی کلریت.



شکل ۹: تصویر میکروسکوپ الکترونی (SEM) از کانی‌های کلسیت (Ca) در حال انحلال و تشکیل کانی‌های ثانوی. (بشکل سوزنی و برنگ سفید در شکل).



شکل ۱۰: کلریت (Chl) و کلسیت (Ca) از کانی‌های ثانوی تشکیل دهنده توفهای آئوسن منطقه شمال تهران.

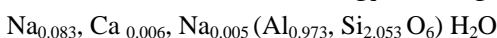
آنالسیم: این کانی همراه با کلسیت های درشت بلور در حفرات و

مطالعات پراش پرتو ایکس نیز وجود کانی‌های آلبیت، فلدوپار قلیایی، کوارتز، کلسیت و کلریت (کلینوکلر) را در توف‌های مزبور نشان می‌دهد، سایر کانی‌های ذکر شده در بالا توسط مطالعات میکروسکوپی و آنالیزهای میکروپریوب شناسایی شده‌اند و بدليل مقدار کم آن‌ها در پراش پرتو ایکس ظاهر نشده‌اند (شکل ۱۴).

شیمی کانی‌های دگرگونی:

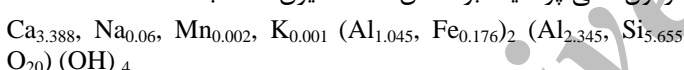
آنالیزهای میکروپریوب ترکیب شیمیایی و تغییرات عناصر موجود در کانی‌های دگرگونی تدفینی در منطقه مورد مطالعه را آشکار ساخته است. اکسیدهای عناصر اصلی در کانی‌های خشک براساس $\text{Al}_2\text{O}_3 / \text{SiO}_2$ محاسبه شده و بر حسب درصد وزنی عناصر داده شده‌اند (Deer et al. 1992).

آنالسیم: آنالسیم‌های موجود در این توف‌ها بین ۵۴ تا ۶۱ درصد اکسید سیلیسیم، ۲۳ تا ۲۲ درصد اکسید آلومینیم، ۹ تا ۱۲ درصد اکسید سدیم و بمقدار جزئی اکسید کلسیم و پتاسیم دارند (درصد عناصر تشکیل دهنده این کانی در جدول ۱ داده شده است). فرمول کانی آنالسیم بر اساس ۹۶ اکسیژن محاسبه شده است:

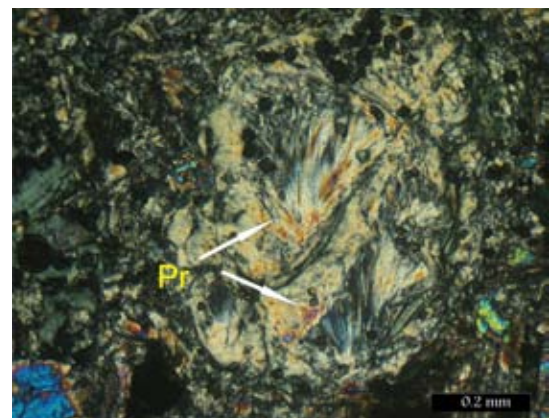


پرهنیت: یکی دیگر از کانی‌های ثانوی موجود، شامل ۴۵ تا ۴۶ درصد اکسید سیلیسیم، ۲۴ تا ۲۲ درصد اکسید آلومینیم، ۲۵ تا ۲۶ درصد اکسید کلسیم و بمقدار جزئی اکسید آهن و سدیم می‌باشد (جدول ۲).

فرمول کانی پرهنیت بر اساس ۲۴ اکسیژن محاسبه شده است:

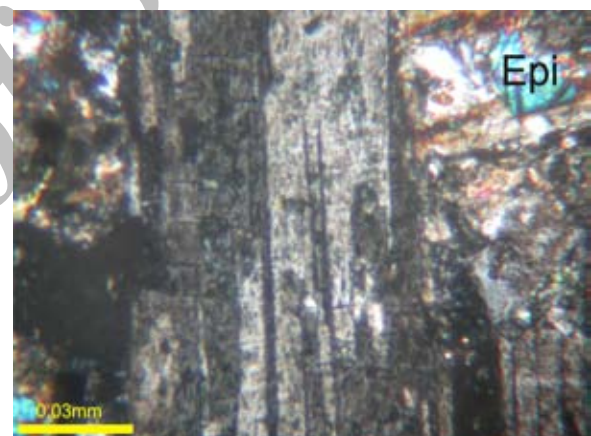


آلبیت: در کانی آلبیت که از دگرسانی پلازیوکلаз بوجود آمده است،

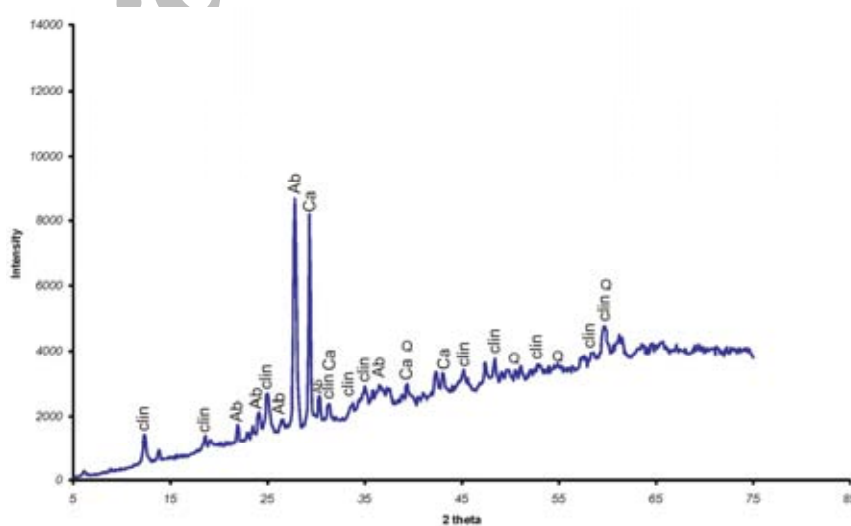


شکل ۱۲- پرهنیت (Pr) موجود در توف سبز ائوسن در شمال تفرش.

اپیدوت: فراوانی اپیدوت از سایر کانی‌ها توف‌های سبز ائوسن منطقه شمال تفرش کمتر می‌باشد. این کانی با رنگ سبز متمایل به آبی و برجستگی نسبتاً بالا در نمونه‌های مورد مطالعه تشکیل شده است (شکل ۱۳).



شکل ۱۳- اپیدوت (Epi) تشکیل شده در کنار کانی پلازیوکلاز.



شکل ۱۴- کانی‌های حاصل از دگرگونی‌الگوی XRD توف سبز ائوسن شمال تفرش: Clin: نشان دهنده کانی کلینوکلر، Ab: نشان دهنده کانی آلبیت، Ca: نشان دهنده کانی کلسیت، Q: نشان دهنده کانی کوارتز.

جدول ۱: آنالیزهای شیمی کانی آنالسیم. محاسبات بر اساس ۹۶ اکسیژن انجام شده است.

<i>Analcime</i>					
<i>Oxides Elements</i>	&	<i>TF 2-9 POS 20 P3</i>	<i>TF 2-9 POS 20 P3b</i>	<i>TF 2-9 POS 20 P5</i>	<i>TF 2-9 POS 23 P3</i>
<i>SiO₂</i>		61.68	56.007	55.696	54.883
<i>TiO₂</i>		0.005	0.00	0.00	0.00
<i>Al₂O₃</i>		23.661	22.877	22.346	22.977
<i>FeO</i>		0.026	0.026	0.131	0.052
<i>MnO</i>		0.005	0.00	0.00	0.006
<i>MgO</i>		0.00	0.00	0.01	0.00
<i>CaO</i>		0.088	0.131	0.115	0.381
<i>Na₂O</i>		9.962	12.879	12.66	12.557
<i>K₂O</i>		0.09	0.109	0.116	0.151
<i>Total</i>		95.517	92.029	91.074	91.007
<i>Si</i>		33.823	32.55	32.703	32.3
<i>Ti</i>		0.002	0.00	0.00	0.00
<i>Al</i>		15.281	15.656	15.45	15.923
<i>Fe</i>		0.012	0.013	0.064	0.026
<i>Mn</i>		0.002	0.00	0.00	0.003
<i>Mg</i>		0.000	0.00	0.009	0.00
<i>Ca</i>		0.052	0.083	0.072	0.24
<i>Na</i>		10.594	14.514	14.414	14.33
<i>K</i>		0.063	0.081	0.087	0.113

جدول ۲- آنالیزهای شیمی کانی پرهنیت. محاسبات بر اساس ۲۴ اکسیژن انجام شده است.

<i>Prehnite</i>				
<i>Oxides Elements</i>	&	<i>TF2-9 3 analyses mean values</i>	<i>TF6-2 4 analyses mean values</i>	<i>TF13j 3 analyses mean values</i>
<i>SiO₂</i>		46.403	46.227	45.662
<i>TiO₂</i>		0.040	0.078	0.000
<i>Al₂O₃</i>		24.278	22.689	23.23
<i>FeO</i>		0.722	1.420	1.080
<i>MnO</i>		0.014	0.046	0.000
<i>MgO</i>		0.004	0.005	0.000
<i>CaO</i>		25.786	26.272	26.06
<i>Na₂O</i>		0.157	0.252	0.197
<i>K₂O</i>		0.078	0.004	0.000
<i>Total</i>		97.482	96.993	96.229
<i>Si</i>		6.781	6.835	6.789
<i>Ti</i>		0.004	0.009	0.000
<i>Al</i>		4.177	3.950	4.067
<i>Fe</i>		0.088	0.176	0.134
<i>Mn</i>		0.002	0.006	0.000
<i>Mg</i>		0.001	0.001	0.000
<i>Ca</i>		4.037	4.162	4.152
<i>Na</i>		0.044	0.072	0.057
<i>K</i>		0.015	0.001	0.000

۶۸ تا ۶۹ درصد اکسید سیلیسیم، ۱۹ درصد اکسید آلومینیم و ۱۱ درصد اکسید سدیم وجود دارد (جدول ۳). فرمول فلدسپار قلیایی: اکسید سیلیسیم (۶۴ تا ۶۵ درصد)، اکسید آلومینیم ($\text{Na}_{0.96} \text{Al}_{1.022} \text{Si}_{2.987} \text{O}_8$) این کانی بر اساس ۳۲ اکسیژن محاسبه شده است. ($\text{K}_{0.946}, \text{Na}_{0.035}, \text{Al}_{0.983} \text{Si}_{3.013} \text{O}_8$)

جدول ۳: آنالیزهای شیمی کانی آلیت. محاسبات بر اساس ۳۲ اکسیژن انجام شده است.

Oxides &	Albite				
	TF2-9 6analyses	TF3-5 2analyses	TF6-2 3analyses	TF13J 4analyses	TF25 3analyses
<i>SiO₂</i>	68.228	69.177	69.067	63.442	69.265
<i>TiO₂</i>	0.011	0.298	0.009	0.017	0.021
<i>Al₂O₃</i>	19.929	19.196	19.208	22.67	19.21
<i>FeO</i>	0.109	0.067	0.123	0.375	0.137
<i>MnO</i>	0.002	0.015	0.009	0.015	0.006
<i>MgO</i>	0.002	0.00	0.002	0.028	0.003
<i>CaO</i>	0.935	0.043	0.306	4.984	0.07
<i>Na₂O</i>	10.665	11.147	11.082	8.32	11.072
<i>K₂O</i>	0.040	0.057	0.05	0.139	0.076
<i>Total</i>	99.921	100	99.856	99.99	99.86
<i>Si</i>	11.919	12.05	12.056	11.225	12.078
<i>Ti</i>	0.001	0.039	0.001	0.002	0.003
<i>Al</i>	4.100	3.938	3.948	4.723	3.945
<i>Fe</i>	0.016	0.01	0.018	0.055	0.02
<i>Mn</i>	0.000	0.002	0.001	0.002	0.001
<i>Mg</i>	0.001	0.00	0.001	0.007	0.001
<i>Ca</i>	0.175	0.008	0.057	0.945	0.013
<i>Na</i>	3.613	3.765	3.751	2.854	3.744
<i>K</i>	0.009	0.013	0.011	0.031	0.017

جدول ۴: آنالیزهای شیمی کانی فلدسپار قلیاًی. محاسبات بر اساس ۳۲ اکسیژن انجام شده است.

Oxides & Elements	K-feldspars					
	TF25 POS 34 P3	TF25 POS 42 P3	TF25 POS 41 P3	TF25 POS 33 P4	TF25 POS 35 P3	TF25 POS 41b P4
<i>SiO₂</i>	65.362	65.554	65.442	65.774	64.942	65.896
<i>TiO₂</i>	0.229	0.000	0.032	0.010	0.000	0.010
<i>Al₂O₃</i>	17.931	18.195	18.158	18.525	18.250	18.261
<i>FeO</i>	0.424	0.067	0.013	0.000	0.087	0.144
<i>MnO</i>	0.000	0.00	0.000	0.005	0.01	0.00
<i>MgO</i>	0.056	0.000	0.000	0.00	0.009	0.000
<i>CaO</i>	0.000	0.000	0.000	0.267	0.000	0.000
<i>Na₂O</i>	0.223	0.298	0.194	0.000	0.338	0.401
<i>K₂O</i>	15.775	16.103	16.001	16.187	16.362	16.226
<i>Total</i>	100.000	100.217	99.840	100.768	99.998	100.938
<i>Si</i>	12.002	12.063	12.074	12.032	11.965	12.053
<i>Ti</i>	0.032	0.000	0.004	0.001	0.000	0.001
<i>Al</i>	3.948	3.943	3.945	3.99	4.021	3.933
<i>Fe</i>	0.066	0.01	0.002	0.000	0.014	0.022
<i>Mn</i>	0.000	0.000	0.000	0.001	0.002	0.000
<i>Mg</i>	0.016	0.000	0.000	0.000	0.002	0.000
<i>Ca</i>	0.000	0.000	0.000	0.052	0.000	0.000
<i>Na</i>	0.081	0.106	0.069	0.000	0.123	0.142
<i>K</i>	3.763	3.781	3.766	3.778	3.906	3.786

منیزیم ۴ تا ۶ درصد و اکسید کلسیم ۱۸ تا ۲۰ درصد تغییر می کند (جدول ۶).

$\text{Ca}_{1.811} \text{Al}_2 (\text{Al}_{0.185}, \text{Mg}_{0.878}, \text{Fe}_{0.596})_{1.0} [\text{Si}_2 (\text{O}, \text{OH})_7] [\text{Si}_{1.728} \text{O}_4] (\text{OH}, \text{O})_3$

اپیدوت: در کانی اپیدوت اکسید سیلیسیم ۳۵ درصد، اکسید آلومینیم

۷ تا ۸ درصد، اکسید آهن ۱۷ درصد و اکسید کلسیم ۳۴ درصد می باشد (جدول ۷).

کلریت: در کلریت درصد اکسید سیلیسیم بین ۲۹ تا ۳۲ درصد، آلومینیم ۱۳ تا ۱۶ درصد، اکسید آهن ۱۸ تا ۲۶ درصد و اکسید منیزیم ۱۲ تا ۱۹ درصد متغیر می باشد (درصد عناصر تشکیل دهنده کلریت در جدول ۵ داده شده است).

$(\text{Mg}_{6.143}, \text{Fe}_{3.290}, \text{Al}_{2.018}, \text{Mn}_{0.128}, \text{Na}_{0.008}, \text{K}_{0.005}, \text{Ti}_{0.004})_{12} [(\text{Si}_{6.67}, \text{Al}_{1.33})_8 \text{O}_{20}] (\text{OH})_{16}$

پومپلئیت: در پومپلئیت مقدار اکسید سیلیسیم ۴۰ تا ۴۲ درصد، اکسید آهن ۱۹ تا ۲۱ درصد، اکسید آهن ۷ تا ۹ درصد، اکسید

جدول ۵- آنالیزهای شیمی کانی کلریت. محاسبات بر اساس ۲۸ اکسیژن انجام شده است.

<i>Chlorite</i>				
<i>Oxides & Elements</i>	<i>TF2-9 POS23 P4</i>	<i>TF2-9 POS26 P7</i>	<i>TF13j POS27 P3</i>	<i>TF6-2 POS7 P6</i>
<i>SiO₂</i>	32.186	31.696	29.333	32.083
<i>TiO₂</i>	0.000	0.007	0.000	0.0280
<i>Al₂O₃</i>	15.745	16.534	19.438	13.675
<i>FeO</i>	25.582	24.507	26.37	18.925
<i>MnO</i>	0.517	0.478	0.289	0.323
<i>MgO</i>	14.857	13.344	12.319	19.823
<i>CaO</i>	0.798	2.776	0.282	0.576
<i>Na₂O</i>	0.059	0.000	0.064	0.020
<i>K₂O</i>	0.085	0.054	0.404	0.019
<i>Total</i>	89.829	89.396	88.499	85.472
<i>Si</i>	6.571	6.503	6.115	6.67
<i>Ti</i>	0.000	0.001	0.000	0.004
<i>Al</i>	3.785	3.994	4.771	3.348
<i>Fe</i>	4.368	4.205	4.597	3.29
<i>Mn</i>	0.089	0.083	0.051	0.057
<i>Mg</i>	4.521	4.081	3.828	6.143
<i>Ca</i>	0.175	0.610	0.063	0.128
<i>Na</i>	0.023	0.000	0.026	0.008
<i>K</i>	0.022	0.028	0.107	0.005

جدول ۷: آنالیزهای شیمی کانی اپیدوت. محاسبات بر اساس ۱۴ اکسیژن انجام شده است.

<i>Epidote</i>		
<i>Oxides &</i>	<i>TF6-2</i>	<i>TF6-2</i>
<i>SiO₂</i>	35.255	35.029
<i>TiO₂</i>	0.339	0.272
<i>Al₂O₃</i>	7.148	8.012
<i>FeO</i>	17.111	17.323
<i>MnO</i>	0.151	0.207
<i>MgO</i>	0.17	0.071
<i>CaO</i>	34.564	34.503
<i>Na₂O</i>	0.00	0.00
<i>K₂O</i>	0.004	0.00
<i>Total</i>	94.742	95.417
<i>Si</i>	3.255	3.211
<i>Ti</i>	0.024	0.019
<i>Al</i>	0.777	0.865
<i>Fe</i>	1.321	1.328
<i>Mn</i>	0.012	0.016
<i>Mg</i>	0.023	0.01
<i>Ca</i>	3.419	3.389
<i>Na</i>	0.00	0.00
<i>K</i>	0.00	0.00

<i>Pumpellyite</i>		
<i>Oxides & Elements</i>	<i>TF6-2</i>	<i>TF6-2</i>
<i>SiO₂</i>	42.092	40.076
<i>TiO₂</i>	0.031	0.040
<i>Al₂O₃</i>	21.046	19.697
<i>FeO</i>	6.354	7.663
<i>MnO</i>	0.049	0.134
<i>MgO</i>	4.527	6.332
<i>CaO</i>	20.599	18.163
<i>Na₂O</i>	0.005	0.000
<i>K₂O</i>	0.000	0.041
<i>Total</i>	94.703	92.146
<i>Si</i>	3.787	3.728
<i>Ti</i>	0.002	0.003
<i>Al</i>	2.230	2.158
<i>Fe</i>	0.478	0.596
<i>Mn</i>	0.004	0.011
<i>Mg</i>	0.607	0.878
<i>Ca</i>	1.986	1.811
<i>Na</i>	0.000	0.000
<i>K</i>	0.000	0.005

یکی از سازندگان موجود در این توفها هستند که به دلیل ناپایداری ترمودینامیکی تجزیه می شوند. آلتراسیون با انحلال شیشه آبدار، تبلور کانی های رسی و کربنات ها آغاز می شود (Noh & Boles 1989). و سپس با چهار مرحله دیاژنر بعد از آبگیری و اکسیداسیون دنبال می شود. ۱) تشکیل کانی های رسی به صورت حاشیه ای بر سطوح شیشه ۲) انحلال بخشی شیشه و فشردگی ۳) ته نشست کانی های در جزا به ویژه زئولیت و کلسیت در فضاهای خالی ۴) آلتراسیون و

بحث:

با توجه به بررسی های کانی شناسی در مطالعه حاضر، بنظر می رسد توفهای منطقه شمال تفرش در بخش های قاعده ای دچار دگرگونی تدفینی شده اند. دگرگونی تدفینی در توفها با پدیده دیاژنر آغاز گردیده و در نهایت به رخساره های کانیابی مربوط به این نوع دگرگونی ختم می شود. در طی دیاژنر شیشه های آتشفسانی به عنوان

کلریتیزاسیون، کربناتیزاسیون، سریسیتیزاسیون و اپیدوتیزاسیون را از خصوصیات عمدۀ سنگهای منطقه ذکر کرده و بر اساس مجموعه کانی‌های مذبور به وجود پدیده دگرگونی در این توف‌ها اشاره می‌کند. بر طبق مشاهدات آنها بخش‌های شیشه‌ای این قطعات به طور کامل به تجمعات (آگرگات‌های) کوارتز، آلبیت و کانی‌های رسی از جمله کلریت و سریسیت و در بعضی از قسمت‌ها مخلوطی از ایلیت و مونت موریونیت دگرسان شده‌اند. مطالعات سنگ‌شناسان دگرگونی مانند (Coombs 1954, Coombs et al. 1959, Coombs 1961 & Sometralian 1961) روی سکانس‌های پیروکلاستیک ضخیم در نیوزلند نشان می‌دهد که تغییرات کانی‌شناختی فراگیر در توف‌ها که دگرگونی تدفینی نام گرفته است حاصل واکنش میان توف‌ها و سیالات هیدروترمال می‌باشد. به همین دلیل است که برخی از سنگ‌شناسان مانند وینتر (Winter, 2001) اصطلاح دگرگونی هیدروترمال را برای دگرگونی تدفینی بکار برده‌اند. با وجود اینکه تشخیص تاثیر فرایندهای آلتراسیون مشکل است و این تغییرات ممکن است مجموعه کانی‌ها و بافت‌های مشابهی داشته باشند و همچنین به دلیل اختلافات ترکیبی و فیزیکی، زون‌های دگرگونی تدفینی از ناحیه‌ای به ناحیه دیگر متفاوتند و بر اساس بافت یا کانی‌های موجود تقسیم بندی می‌شوند (Winter, 2001).

جانشینی فازهای کانیایی.



Metamorphic Facies	Zeolite Facies		Prehnite-Pumpellyite Facies	
Specimen Number	Tf2-9	Tf3-5	Tf6-2	Tf13j
Pumpellyite				
Prehnite	—			
Epidote			—	
Chlorite				
Analcime	—			
Calcite			—	
Albite				

شکل ۱۵: پاراژنز کانیایی مشاهده شده در نمونه‌های حاصل از آنالیزهای میکروپریوب در منطقه شمال تفرش.

نتیجه گیری:

در کمربند آتشفسانی ارومیه- دختر در منطقه تفرش توف‌های سبز کرج (ائوسن) دچار تغییرات کانی‌شناختی فراگیر شده و در طی آن کانی‌های سریسیت، کلسیت، کلریت، آلبیت، آنالسیم، اپیدوت، پرهنیت و پومپلیت تشکیل شده‌اند. مجموعه کانی‌شناسی فوق مربوط به زون

دیاژنز بتدریج و همراه با افزایش حرارت، فشار و عمق تدفین به دگرگونی پیشرفت می‌کند. انتقال از مرحله دیاژنز به دگرگونی تدفینی با آبزدایی و کربن زدایی و آزاد شدن سیلیس همراه است. توسعه دیاژنز و دگرگونی درجه پایین هردو در حرارت و فشار ۳۰۰-۲۰۰ درجه سانتی گراد و ۱ کیلوبار قرار می‌گیرند. در حقیقت تمایز مشخصی بین شرایط فشار، حرارت، بافت و مجموعه کانی‌ها در دیاژنز و دگرگونی درجه پایین وجود ندارد. در طی دفن پیشرونده مرحله ای وجود دارد که واکنشهای متاسوماتیک رخ می‌دهند و حرارت افزایش می‌یابد، این مرحله انتقالی بعنوان دگرگونی تدفینی در نظر گرفته می‌شود (Coombs 1954). طبق تعریف کومبز دگرگونی تدفینی شامل تغییرات کانیایی پیشرونده ای است که می‌تواند مستقیماً با افزایش حرارت و عمق تدفین در توالی‌های آتشفسانی و رسوبی مرتبط باشد، در واقع این دگرگونی شکلی از دگرگونی ناحیه‌ای است که متأثر از حوضه‌های در حال فرونشینی در توالی‌های آتشفسانی و یا رسوبی، جایی که بخش‌های قاعده ای تحت شرایط دگرگونی درجه پایین بدون تغییر شکل و یا چین خوردگی که خاص دگرگونی ناحیه‌ای است، می‌باشد. در دگرگونی تدفینی همانند دیاژنز مجموعه کانی‌های در حال تعادل به ندرت یافت می‌شوند. این دگرگونی توالی از زون‌های دگرگونی گسترده را ایجاد می‌کند. توالی‌های رخساره دگرگونی همراه با افزایش عمق شامل: رخساره زئولیت، پرهنیت+پومپلیت، پومپلیت+اکتی‌نولیت، لاوسونیت+آلبیت+کلریت، شیست آبی و شیست سبز می‌باشند. رخساره زئولیت پلی است بین دیاژنز و دگرگونی، (Coombs et al., 1959) و مجموعه کانی‌های این رخساره به ترکیب سنگ اولیه، ترکیب سیال، تاریخ تدفین بستگی دارد. این رخساره بر اساس کانی‌های شاخص موجود به ۵ زیر مجموعه تقسیم بندی می‌شود که شامل (۱) شابازیت+تماسونیت، (۲) آنالسیم، (۳) مزولیت+اسکلوسیت، (۴) هویلاندیت+استیلیت و (۵) لامونتیت می‌باشند. توف‌های ائوسن در منطقه تفرش دگرگونی در دو زون زئولیت و پرهنیت+پومپلیت. را در خود ثبت کرده‌اند. کانی‌های خود شکل آنالسیم، همراه با کوارتز و کلسیت از کانی‌های موجود در زون زئولیت می‌باشند. در زون پرهنیت+پومپلیت کانی‌های پرهنیت، پومپلیت، کلسیت، کلریت و کوارتز دیده می‌باشند. پلاژیوکلاز شده اند، اپیدوت، کلسیت، کلریت و کوارتز دیده می‌شوند (شکل ۱۵)، این کانی‌ها در متن سنگ، فضاهای خالی موجود در سنگ و یا بصورت جانشینی کانی‌های اولیه در سنگ دیده می‌شوند. ایوانو و هوشمند زاده (Iwao and Hushmand-Zadeh, 1971) در مطالعه مشابهی بر روی سنگهای آتشفسانی و پیروکلاستیک سازند کرج در رشته کوههای البرز در منطقه شمال تهران ضمن گزارش مجموعه کانی‌های پرهنیت، آلبیت، اپیدوت، کلریت، کلسیت و تیتانیت،

شناختی توفهای شمال تفرش با سری های ضخیم پیروکلاستیک در نیوزلند و سنگهای آتشفسانی و پیروکلاستیک سازند کرج در رشته کوههای البرز در منطقه شمال تهران می تواند نشان دهنده عمومیت دگرگونی تدفینی در این سری ها و از جمله منطقه مورد مطالعه باشد.

زئولیت و پرهنیت + پومپلیت می باشد. از مجموعه کانی های مذبور آنالسیم + کوارتز + کلسیت کانی های شاخص زون زئولیت و پرهنیت + پومپلیت + آلبیت + اپیدوت + کلسیت + کوارتز کانی های شاخص زون پرهنیت + پومپلیت می باشد. ضخامت قابل ملاحظه توفهای سبز اوسن در برش مورد مطالعه و مقایسه تغییرات کانی

منابع:

- امامی م. ۱۳۷۰: شرح نقشه زمین شناسی چهارگوش قم، مقیاس ۱:۱۰۰۰۰۰. انتشارات سازمان زمین شناسی.
- امینی ب. ۱۳۷۷: زمین شناسی و پترولولری سنگ های آذرین ترشیری منطقه دستجرد. رساله کارشناسی ارشد.
- حاجیان ج. ۱۹۷۰: چهارگوش زمین شناسی تفرش به مقیاس ۱:۱۰۰۰۰. انتشارات سازمان زمین شناسی.
- سجودی کیسمی ح. ۱۳۷۲: بررسی زمین شناسی و پترولولری سنگ های آذرین قم. رساله کارشناسی ارشد دانشگاه تربیت معلم تهران.
- شاخرخ ج. ۱۳۷۵: پترولولری و پتروژئن سنگ های آتشفسانی نفوذ منطقه سلفچگان - آشتیان. رساله کارشناسی ارشد دانشگاه تربیت معلم تهران.
- فقماش ج. ۱۳۷۴: مطالعه پلوتونیسم ترشیری در منطقه جنوب قم. رساله کارشناسی ارشد دانشگاه شهید بهشتی.
- Boles J.R., Coombs D.S. 1977: Zeolite facies alteration of sandstone in the Southland. *American Journal of Science*. **277**: 982-1012.
- Coombs D.S. 1954: The nature and alteration of some Triassic sediments from Shouthland, New Zealand. *Royal Soc. New Zealand Trans.* **82**: 65-109.
- Coombs D.S., Sometralian J. 1961: Some recent work on the lower grade metamorphism. *Australian J. Sci.* **24**: 203-215.
- Coombs D.S., Ellis A.J., Fyfe W.S., Taylor A.M. 1959: The zeolite facies, with comments on the interpretation of hydrothermal synthesis. *Geochim. Cosmochim. Acta*. **17**: 53-107.
- Deer W.A., Howie R.A., Zussman J. 1992: The rock forming minerals. *Longman scientific & Technical*. 696p.
- Gifkins C., Herman W., Large R. 2005: Altered volcanic rocks. *Codes press*. 15-36.
- Iwao S., Husmand Zadeh A. 1971: Stratigraphy and petrology of the low-grade regionally metamorphosed rocks of the Eocene formation in the Alborz Range, North of Tehran. *Iran. Jour. Japan. Assoc. Min. Pet. Eco. Geol.* **65**: 265-285.
- Jackson M.P.A., Cornelius R.R., Craig C.H., Gansser A., Stocklin J., Talbot C.J. 1990: Salt diapers of the Great Kavir, Central Iran. *Geol. Soc. Amer.*
- Klein C., Hurlbut S. C. 1999: Manual of mineralogy. *John Wiley and Sons*. 765p.
- Potell S., Schmidt S., Capitani C. 2002: Composition of pumpellyite, epidote and chlorite from New Caledonia- How important are metamorphic grade and whole-rock composition? *Schwetz Mineral. Petrogr. Mitt.* **82**: 229-252.
- Shelly D. 1993: Igneous and metamorphic rocks under the microscope. *Chapman and hall*. 630p.
- Winter J.D., 2001: An introduction to igneous and metamorphic petrology. Prentice Hall. 501-50.